

## **Решение линейных и нелинейных пространственных задач механики разрушения на основе полуаналитического метода конечных элементов. Сообщение 2. Методика определения инвариантного $J$ -интеграла в дискретных моделях метода конечных элементов**

**В. А. Баженов, А. И. Гуляр, С. О. Пискунов, А. С. Сахаров, А. А. Шкрыль, Ю. В. Максимюк**

Киевский национальный университет строительства и архитектуры, Киев, Украина

*Реализована новая методика вычисления  $J$ -интеграла для дискретных моделей метода конечных элементов, основанная на использовании величин узловых реакций и перемещений. Приведены теоретические обоснования и практические результаты, подтверждающие инвариантность получаемых с использованием этой методики значений  $J$ -интеграла для случая трещины нормального отрыва и смешанного разрушения. Решена задача об упругопластическом деформировании компактного образца в пространственной постановке.*

**Ключевые слова:** механика разрушения, инвариантный  $J$ -интеграл, контур интегрирования, метод конечных элементов, линейная и нелинейная задачи.

Ранее [1] было проведено исследование достоверности результатов вычисления  $J$ -интеграла для дискретных моделей метода конечных элементов (МКЭ) на основе традиционного подхода к величинам напряжений и градиентам перемещений. Полученные данные свидетельствуют, что такая методика обеспечивает более высокую эффективность вычисления  $J$ -интеграла, в частности, по сравнению с методом эквивалентного объемного интегрирования [2]. Однако при вычислении  $J$ -интеграла в призматическом теле с боковым надрезом как при упругом, так и при упругопластическом деформировании обнаружена существенная зависимость результатов от размеров контура интегрирования. При использовании одинаковых конечноэлементных моделей погрешности вычисления  $J$ -интеграла при упругопластическом деформировании оказались вдвое большими, чем при упругом, а для достижения достоверности результатов в обоих случаях требуется значительное сгущение конечноэлементной сетки. Кроме того, предлагаемые в работах других авторов реализации традиционного подхода в задачах смешанного разрушения приводят к дополнительным вычислительным затратам. Поэтому вопрос создания новой эффективной методики вычисления  $J$ -интеграла для дискретных моделей МКЭ, обеспечивающей его инвариантность, является актуальным.

Рассмотрим замкнутый контур в общем случае произвольной формы, построенный на дискретной модели полуаналитического метода конечных элементов (ПМКЭ) для тела с продольной трещиной. Контур представляет собой поперечное сечение объема, выбранного в окрестности точки фронта трещины для вычисления  $J$ -интеграла [1], проходит через середины конечных

элементов (КЭ) в направлении оси  $x^1$  и по границам КЭ параллельно оси  $x^2$  (рис. 1). Такой замкнутый контур может быть расположен в произвольном месте дискретной модели, в предельном случае одна из его сторон, параллельных оси  $x^2$ , может совпадать с одним из берегов (поверхностей) трещины.

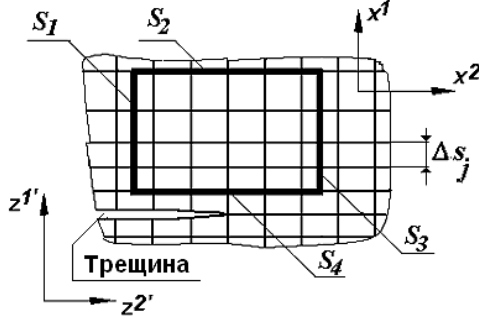


Рис. 1. Контур интегрирования в поперечном сечении дискретной модели ПМКЭ для тела с продольной трещиной.

$J$ -интеграл по указанному контуру может быть представлен в виде

$$J = \int_S (Wn_t - n_i \sigma^{ik'} \zeta_{k't'} t^l) dS. \quad (1)$$

После разворачивания произведения во втором слагаемом по индексу  $l'$  ( $t^{1'} = 0, t^{2'} = 1, t^{3'} = 0$ ) с учетом значений проекций нормали  $n_t$  на ось  $z^{2'}$  на характерных участках контура  $S_1 - S_4$  ( $n_t|_{S_1} = -1, n_t|_{S_3} = 1, n_t|_{S_2} = n_t|_{S_4} = 0$ ) покомпонентное представление  $J$ -интеграла таково:

$$J = \int_{S_3} W dS_3 - \int_{S_1} W dS_1 - \int_{S_1} n_i \sigma^{ik'} \zeta_{k'2'} dS_1 - \int_{S_2} n_i \sigma^{ik'} \zeta_{k'2'} dS_2 - \\ - \int_{S_3} n_i \sigma^{ik'} \zeta_{k'2'} dS_3 - \int_{S_4} n_i \sigma^{ik'} \zeta_{k'2'} dS_4. \quad (2)$$

С учетом конечноэлементной дискретизации контура получим

$$J = \sum_{j=1}^{N_3} (W \Delta s)_j - \sum_{j=1}^{N_1} (W \Delta s)_j - \sum_{j=1}^{N_1} (n_i \sigma^{ik'} \zeta_{k'2'} \Delta s)_j - \\ - \sum_{j=1}^{N_2} (n_i \sigma^{ik'} \zeta_{k'2'} \Delta s)_j - \sum_{j=1}^{N_3} (n_i \sigma^{ik'} \zeta_{k'2'} \Delta s)_j - \sum_{j=1}^{N_4} (n_i \sigma^{ik'} \zeta_{k'2'} \Delta s)_j, \quad (3)$$

где  $N_1, N_2, N_3, N_4$  – количество КЭ,  $\Delta s_j$  – длина отрезка контура в пределах  $j$ -го КЭ на участках контура  $S_1, S_2, S_3, S_4$  (рис. 1).

Величина энергии деформирования КЭ  $W$ , вычисленная вдоль обозначенного на рис. 1 отрезка контура  $\Delta s_j$ , будет

$$(W\Delta s)_j = -\frac{1}{2(\Delta z^{2'})} \{u\}_j^T \{R\}_j, \quad (4)$$

где  $\{u\}_j = \{\{u_{k'}\}_i\}$ ,  $\{R\}_j = \{\{R_{k'}\}_i\}$  – векторы перемещений и узловых реакций  $j$ -го КЭ, компоненты которых показаны на рис. 2;  $i$  – номера узлов в пределах КЭ,  $i=1, 2, 3, 4$ ;  $k'$  – направления осей базисной системы координат  $z^{k'}$ .

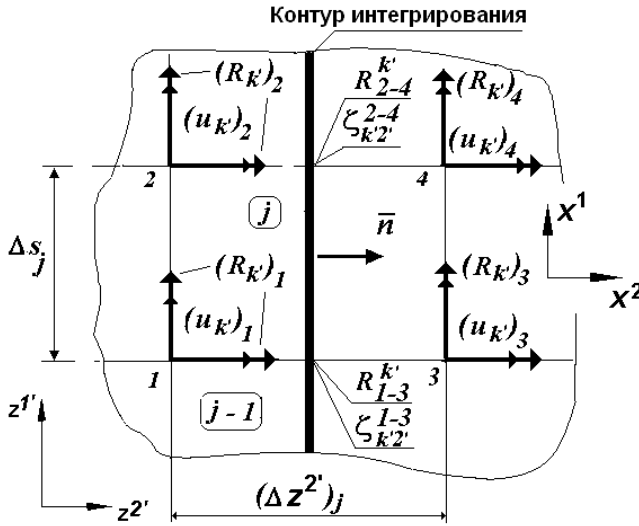


Рис. 2. Отрезок контура интегрирования в пределах  $j$ -го КЭ.

Усредненные величины узловых реакций, действующих вдоль сторон 2–4 и 1–3 КЭ, с использованием напряжений могут быть представлены так:

$$R_{2-4}^{k'} = n_i \sigma^{ik'} \frac{\Delta s}{2}, \quad R_{1-3}^{k'} = n_i \sigma^{ik'} \frac{\Delta s}{2},$$

а с использованием узловых реакций КЭ:

$$R_{2-4}^{k'} = \frac{(R^{k'})_2 + (R^{k'})_4}{2}, \quad R_{1-3}^{k'} = \frac{(R^{k'})_1 + (R^{k'})_3}{2}.$$

Аналогично могут быть записаны величины градиентов перемещений КЭ:

$$\zeta_{k'2'}^{2-4} = \frac{(u_{k'})_4 - (u_{k'})_2}{\Delta z^{2'}}, \quad \zeta_{k'2'}^{1-3} = \frac{(u_{k'})_3 - (u_{k'})_1}{\Delta z^{2'}}.$$

С учетом этого и формулы (3) выражения для контурного интеграла (2) приобретут вид

$$\begin{aligned}
 J = & \sum_{j=1}^{N_3} \frac{\{u\}_j^T \{R\}_j}{2(\Delta z^{2'})_j} - \sum_{j=1}^{N_1} \frac{\{u\}_j^T \{R\}_j}{2(\Delta z^{2'})_j} - \\
 & - \sum_{j=1}^{N_1} \left( R^{k'} \frac{(\{u_{k'}\}_3 + \{u_{k'}\}_4) - (\{u_{k'}\}_1 + \{u_{k'}\}_2)}{2\Delta z^{2'}} \right)_j - \sum_{j=1}^{N_2} \left( R^{k'} \frac{\{u_{k'}\}_4 - \{u_{k'}\}_2}{2\Delta z^{2'}} \right)_j - \\
 & - \sum_{j=1}^{N_3} \left( R^{k'} \frac{(\{u_{k'}\}_3 + \{u_{k'}\}_4) - (\{u_{k'}\}_1 + \{u_{k'}\}_2)}{2\Delta z^{2'}} \right)_j - \sum_{j=1}^{N_4} \left( R^{k'} \frac{\{u_{k'}\}_4 - \{u_{k'}\}_2}{2\Delta z^{2'}} \right)_j. \quad (5)
 \end{aligned}$$

Таким образом, контурный интеграл (1) может быть представлен с использованием величин узловых реакций и перемещений.

Для частного случая регулярной в направлении  $z^{2'}$  конечноэлементной сетки в предположении линейно-упругого деформирования тела может быть доказано равенство нулю величины  $J$ -интеграла при его вычислении по контуру, который охватывает вершину трещины. С этой целью рассмотрим подобласти I и II (рис. 3), которые смещены относительно контура на  $\pm \Delta z^{2'}/2$ , где  $\Delta z^{2'}$  – шаг конечноэлементной сетки в направлении  $z^{2'}$ . Каждая область содержит  $N$  узлов (1, 2, 3, ...,  $N-1$ ,  $N$ , рис. 3).

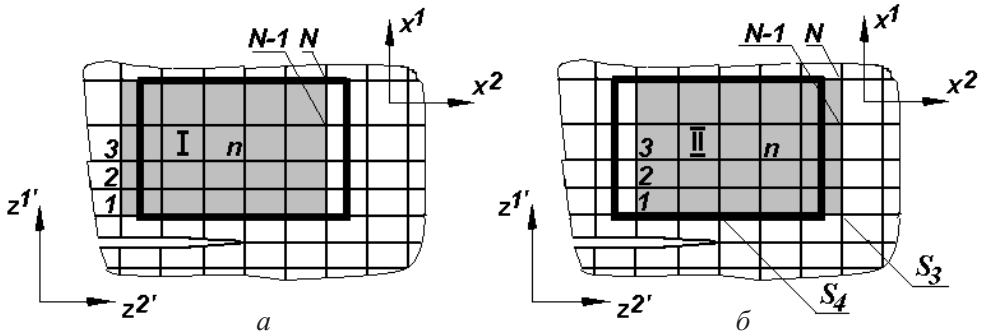


Рис. 3. Подобласти для вычисления  $J$ -интеграла в дискретной модели ПМКЭ тела с продольной трещиной.

Векторы перемещений и узловых реакций подобластей I и II обозначим  $\{u\}_I$ ,  $\{R\}_I$  и  $\{u\}_{II}$ ,  $\{R\}_{II}$  соответственно. Каждый из этих векторов содержит  $3N$  компонент, представляющих собой значения перемещений или узловых реакций по трем направлениям соответственно. Например,

$$\begin{aligned}
 \{u\}_I^T = \\
 = \{(u_{1'})_1 \ (u_{2'})_1 \ (u_{3'})_1 \ \dots \ (u_{k'})_n \ \dots \ (u_{3'})_{N-1} \ (u_{1'})_N \ (u_{2'})_N \ (u_{3'})_N\},
 \end{aligned}$$

где  $k' = 1, 2, 3$ , как и в предыдущем случае, обозначают направление перемещения,  $n = 1, 2, \dots, N$  – номера узлов в пределах каждой из подобластей.

Векторы  $\{u\}_{II}$ ,  $\{R\}_I$ ,  $\{R\}_{II}$  имеют аналогичную структуру.

Для доказательства равенства нулю дискретного аналога  $J$ -интеграла (5) определим изменение энергии деформирования объема материала, заключенного в пределах подобласти I при ее смещении на  $\Delta z^{2'}$ . Согласно теореме Клапейрона, эта величина может быть представлена как разность работ узловых реакций на соответствующих перемещениях:

$$\frac{\Delta W}{\Delta z^{2'}} = \frac{1}{\Delta z^{2'}} \left( \frac{1}{2} \{u\}_{II}^T \{R\}_{II} - \frac{1}{2} \{u\}_I^T \{R\}_I \right). \quad (6)$$

Покажем, что выражение (6) может быть записано в следующем виде:

$$\left( \frac{\{u\}_{II}^T - \{u\}_I^T}{\Delta z^{2'}} \right) \left( \frac{\{R\}_{II} + \{R\}_I}{2} \right). \quad (7)$$

После раскрытия скобок получим

$$\begin{aligned} & \left( \frac{\{u\}_{II}^T - \{u\}_I^T}{\Delta z^{2'}} \right) \left( \frac{\{R\}_{II} + \{R\}_I}{2} \right) = \\ & = \frac{\{u\}_{II}^T \{R\}_{II} - \{u\}_{II}^T \{R\}_{II} - \{u\}_I^T \{R\}_I - \{u\}_I^T \{R\}_{II} + \{u\}_{II}^T \{R\}_I}{2\Delta z^{2'}}. \end{aligned}$$

В соответствии с теоремой Бетти о взаимности работ имеем  $\{u\}_I^T \{R\}_{II} = \{u\}_{II}^T \{R\}_I$ . Таким образом справедливо тождество:

$$\frac{\{u\}_{II}^T \{R\}_{II} - \{u\}_I^T \{R\}_I}{2\Delta z^{2'}} \equiv \frac{(\{u\}_{II}^T - \{u\}_I^T)(\{R\}_I + \{R\}_{II})}{2\Delta z^{2'}}.$$

Соответственно можем записать

$$J = \frac{\{u\}_{II}^T \{R\}_{II} - \{u\}_I^T \{R\}_I}{2\Delta z^{2'}} - \frac{(\{u\}_{II}^T - \{u\}_I^T)(\{R\}_I + \{R\}_{II})}{2\Delta z^{2'}} = 0. \quad (8)$$

Поскольку исследуемый объект, на дискретной модели которого были выделены области I и II, находится в состоянии равновесия, для каждого внутреннего узла этих областей реакции равны нулю. Соответственно величина  $J$ -интеграла, полученная с использованием выражений (5) и (8), для данного случая будет одинакова.

Аналогичные выкладки могут быть проведены для тела с поперечной трещиной. В этом случае необходимо рассмотреть контур интегрирования и соответствующие ему подобласти в плоскости  $x^2 - x^3$ . При этом располо-

жение точек, в которых вычисляются значения компонент векторов  $\{u\}_I$ ,  $\{R\}_I$ ,  $\{u\}_{II}$ ,  $\{R\}_{II}$ , в плоскости  $z^1 - z^2$  определяется координатами узлов конечноэлементной модели, в направлении  $z^3$  – координатами точек интегрирования (на рис. 4 показаны крестиками).

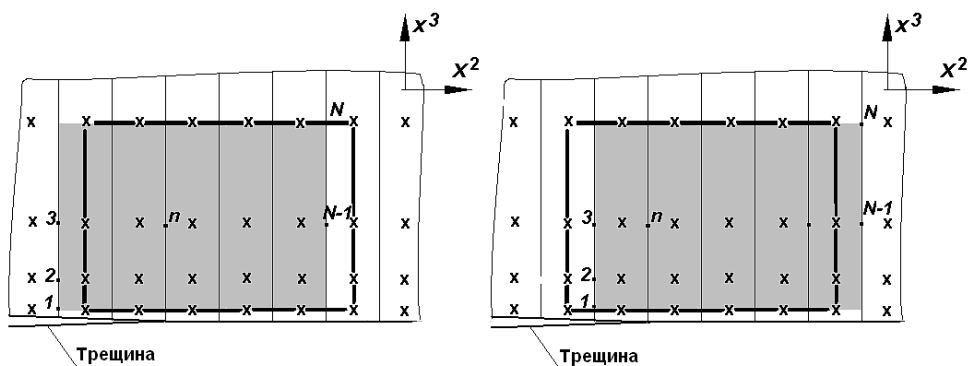


Рис. 4. Подобласти для вычисления  $J$ -интеграла в дискретной модели ПМКЭ тела с поперечной трещиной.

Применение разработанного подхода к определению  $J$ -интеграла в рассмотренной ранее [1] задаче об изгибе призматического тела с боковой трещиной показало независимость получаемых результатов (на рис. 5 кривая 2) от контура интегрирования и почти полную их тождественность эталонному решению ( $I$ , треугольники) при рассмотрении этого объекта в виде призматического тела как с продольной, так и поперечной трещиной. Аналогичные данные были получены при вычислении величин  $J$ -интеграла по предложенной методике на основании определения напряженно-деформированного состояния с использованием традиционного трехмерного МКЭ (на рис. 5 кривая 3), в том числе программного комплекса NASTRAN [3, 4].

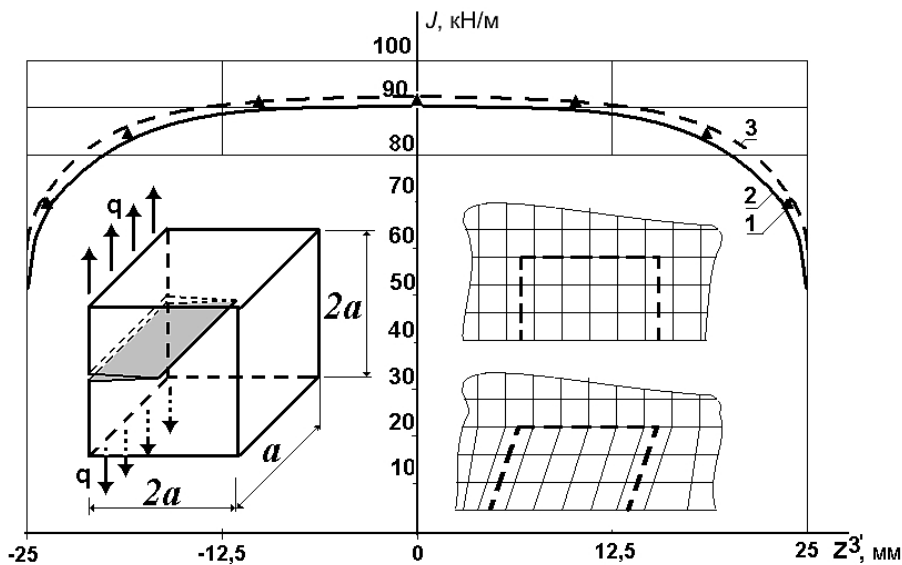


Рис. 5. Результаты определения  $J$ -интеграла по величинам узловых реакций и перемещений.

Для получения  $J$ -интеграла с точностью порядка 2,5% с помощью величин узловых реакций и перемещений достаточно воспользоваться конечно-элементной сеткой размерностью  $5 \times 10$  КЭ. Таким образом, необходимая точность достигается при размерах КЭ в вершине трещины почти в 25 раз меньших, чем при вычислении  $J$ -интеграла по величинам напряжений и градиентов перемещений. Следует также отметить, что сходимость достигается при использовании в окрестности вершины трещины как ортогональных, так и косоугольных дискретных моделей, фрагменты которых показаны на рис. 5.

Таким образом, разработанный подход, основанный на вычислении  $J$ -интеграла по величинам узловых реакций и перемещений, свободен от недостатков, присущих методике, базирующейся на использовании величин напряжений и градиентов перемещений. Рассматриваемая методика позволяет получать достоверные результаты на ортогональных и косоугольных сетках при существенно меньшей размерности конечноэлементных моделей, чем при вычислении  $J$ -интеграла по величинам напряжений и градиентов перемещений.

Рассмотрим такое расположение контура, когда участок  $S_4$  совпадает с одним из берегов трещины (рис. 1). Тогда часть  $S_1 - S_3$  этого контура может рассматриваться как его половина, охватывающая вершину трещины и используемая для вычисления  $J$ -интеграла в телах с трещинами.

Поскольку формула (5) записана для величины интеграла по замкнутому контуру  $S_1 - S_4$ , из нее можно выделить слагаемые, соответствующие величине интеграла по П-образной части контура (на рис. 1 участки  $S_1 - S_3$ ):

$$J_{\Pi} = \sum_{j=1}^{N_3} \frac{\{u\}_j^T \{R\}_j}{2(\Delta z^{2'})_j} - \sum_{j=1}^{N_1} \frac{\{u\}_j^T \{R\}_j}{2(\Delta z^{2'})_j} -$$

$$- \sum_{j=1}^{N_1} \left( R^{k'} \frac{(\{u_{k'}\}_3 + \{u_{k'}\}_4) - (\{u_{k'}\}_1 + \{u_{k'}\}_2)}{2\Delta z^{2'}} \right)_j -$$

$$- \sum_{j=1}^{N_2} \left( R^{k'} \frac{\{u_{k'}\}_4 - \{u_{k'}\}_2}{2\Delta z^{2'}} \right)_j - \sum_{j=1}^{N_3} \left( R^{k'} \frac{(\{u_{k'}\}_3 + \{u_{k'}\}_4) - (\{u_{k'}\}_1 + \{u_{k'}\}_2)}{2\Delta z^{2'}} \right)_j,$$

и слагаемое, соответствующее интегралу по линии, которая проходит через вершину трещины и замыкает этот контур (на рис. 1 участок  $S_4$ ):

$$J_{\Pi} = \sum_{j=1}^{N_4} \left( R^{k'} \frac{\{u_{k'}\}_4 - \{u_{k'}\}_2}{2\Delta z^{2'}} \right)_j.$$

Как было доказано выше,  $J$ -интеграл, вычисленный по замкнутому контуру  $J_K$ , равен нулю:

$$J_K = J_{\Pi} + J_{\Pi} = 0.$$

Таким образом,  $J$ -интеграл по П-образной части контура можно выразить через величину  $J$ -интеграла по линии вдоль поверхности трещины:

$$J_{\Pi} = -J_{\Gamma}.$$

Поскольку узловые реакции подобластей I и II (рис. 3) в узлах, расположенных на поверхности трещины, и перемещения в закрепленных узлах, относящихся к линии контура, равны нулю, формула вычисления  $J$ -интеграла для части контура  $S_1 - S_3$  (рис. 1) примет следующий вид:

$$J = J_{\Pi} = -\frac{R^{k'} u_{k'}}{2\Delta z^{2'}}, \quad (9)$$

где  $R^{k'}$  – узловая реакция в вершине трещины;  $u_{k'}$  – перемещение ближайшего от вершины трещины узла, расположенного на линии вдоль берега трещины.

Как отмечалось выше, формула (9) была получена для половины контура, охватывающего вершину трещины, и соответственно содержит компоненты узловых реакций и перемещений узлов, расположенных на одном из берегов трещины. Поэтому в случае симметричной относительно трещины расчетной схемы (в частности, для трещин нормального отрыва) для получения действительного значения  $J$ -интеграла результат вычисления по формуле (9) необходимо умножить на 2.

При смешанном разрушении вследствие отсутствия симметрии для определения  $J$ -интеграла необходимо рассматривать дискретную модель для тела в целом и использовать полный контур, охватывающий вершину трещины и имеющий разрыв на ее поверхности (рис. 6).

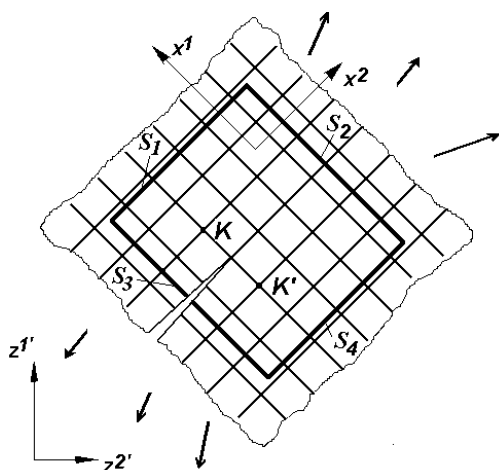


Рис. 6. Контур для вычисления  $J$ -интеграла при смешанном разрушении.

В частном случае упругого деформирования при смешанном разрушении двумерных тел полная величина  $J$ -интеграла является суммой величин  $J_I$  и  $J_{II}$ , которые соответствуют нормальному отрыву и поперечному сдвигу:



$$J = J_I + J_{II}.$$

Связь величин  $J$ -интеграла (величины удельной энергии, необходимой для образования единицы поверхности трещины) с соответствующими значениями коэффициента интенсивности напряжений (КИН) при условии линейного деформирования определяется формулами, аналогичными (3) [1]:

$$J_I = k \frac{K_I^2}{E}; \quad J_{II} = k \frac{K_{II}^2}{E}.$$

Один из подходов, который предлагается для отдельного определения составляющих  $J$ -интеграла, заключается в проведении процедуры симметризации напряженно-деформированного состояния в соответствии с типом разрушения I (нормальный отрыв) и II (поперечный сдвиг) [2, 5].

Рассмотрим две точки  $K$  и  $K'$ , которые расположены симметрично по отношению к берегам трещины (рис. 6). Согласно [2, 5], поля перемещений для каждой из них можно записать в виде

$$u = u^I + u^{II} = \frac{1}{2} \begin{Bmatrix} u_1 + u'_1 \\ u_2 - u'_2 \end{Bmatrix} + \frac{1}{2} \begin{Bmatrix} u_1 - u'_1 \\ u_2 + u'_2 \end{Bmatrix}.$$

Аналогичное представление может быть использовано для полей напряжений и деформаций:

$$\sigma = \sigma^I + \sigma^{II}; \quad \varepsilon = \varepsilon^I + \varepsilon^{II}.$$

Тогда для  $J$ -интеграла получим

$$J_I = \int_{\Omega^*} \left( \sigma_{ij}^I \frac{\partial u_j^I}{\partial x_1} - W^I \delta_{li} \right) \frac{\partial q_1}{\partial x_i} dA; \quad J_{II} = \int_{\Omega^*} \left( \sigma_{ij}^{II} \frac{\partial u_j^{II}}{\partial x_1} - W^{II} \delta_{li} \right) \frac{\partial q_1}{\partial x_i} dA,$$

где  $\Omega^*$  – часть области, которая полностью окружает вершину трещины;  $W^I$ ,  $W^{II}$  – плотности энергии деформации, относящиеся к типам разрушения I и II,  $W^I = \int_s \sigma_{ij}^I \varepsilon_{ij}^I ds$ ,  $W^{II} = \int_s \sigma_{ij}^{II} \varepsilon_{ij}^{II} ds$ ;  $\delta_{ij}$  – символ Кронекера.

Этот подход приводит к лишним вычислительным процедурам и усложняет определение  $J$ -интеграла.

Для нахождения величин  $J$ -интеграла при смешанном разрушении с использованием его представления через величины узловых реакций и перемещений рассмотрим контур  $CABDD'B'A'C'$ , который охватывает вершину трещины и имеет разрыв на ее поверхности (рис. 7). Контур может быть представлен как сумма двух II-образных частей замкнутых контуров, расположенных по обе стороны от трещины:

$$J_{CABDD'B'A'C'} = J_{CABD} + J_{C'A'B'D'}.$$

При этом величина  $J$ -интеграла по каждому из замкнутых контуров  $CABDVSC$  и  $C'A'B'D'V'S'C'$  может быть представлена как сумма  $J$ -интеграла по их  $\Pi$ -образным частям  $J_{\Pi}$  и по линиям  $J_{\Pi}$ , замыкающим соответствующие контуры. С учетом равенства  $J$ -интеграла нулю по каждому из указанных замкнутых контуров получим

$$\begin{cases} J_{\kappa(CABDVSC)} = J_{\Pi} + J_{\Pi} = J_{CABD} + J_{CSVD} = 0; \\ J_{\kappa(C'A'B'D'V'S'C')} = J_{\Pi} + J_{\Pi} = J_{C'A'B'D'} + J_{CSVD'} = 0; \\ J_{CABDD'B'A'C'} = J_{CABD} + J_{C'A'B'D'} = -J_{CSVD} - J_{CSVD'}. \end{cases} \quad (10)$$

С помощью формулы (9), учитывая выполнение условий равновесия узлов, получаем, что  $J$ -интеграл по линии равен произведению реакций узла  $V$  в вершине трещины на перемещения узла  $S$  перед вершиной:

$$J_{CSVD} = \frac{\{R\}_V \{u\}_S}{2\Delta l}; \quad J_{CSVD'} = \frac{\{R\}_{V'} \{u\}_{S'}}{2\Delta l}, \quad (11)$$

где  $\{R\}_V = \begin{Bmatrix} R_1 \\ R_2 \end{Bmatrix}_V^T$  и  $\{R\}_{V'} = \begin{Bmatrix} R_1 \\ R_2 \end{Bmatrix}_{V'}^T$  – векторы суммарных узловых реакций КЭ, расположенных с каждой стороны от вершины трещины по направлениям местной системы координат КЭ;  $\{u\}_S = \begin{Bmatrix} u_1 \\ u_2 \end{Bmatrix}_S$ ,  $\{u\}_{S'} = \begin{Bmatrix} u_1 \\ u_2 \end{Bmatrix}_{S'}$  – векторы узловых перемещений;  $\Delta l$  – шаг конечноэлементной сетки в направлении распространения трещины (оси  $x^2$ , рис. 8).

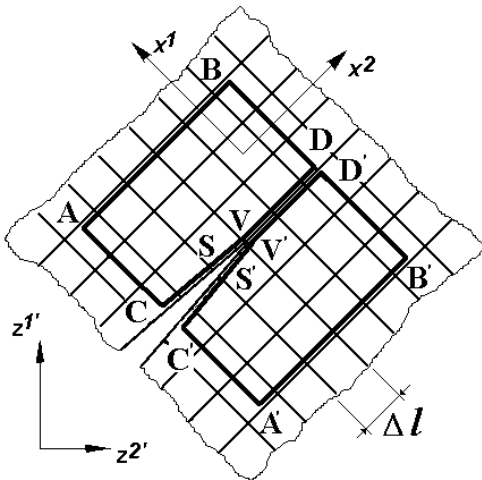


Рис. 7

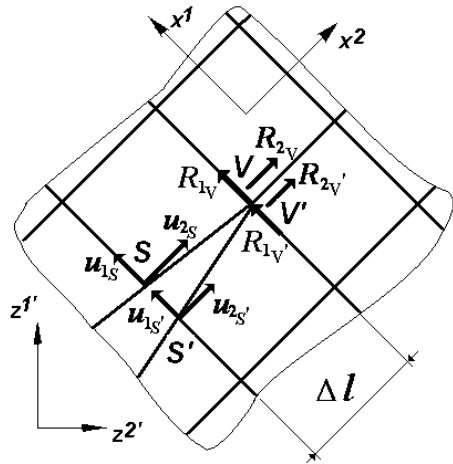


Рис. 8

Рис. 7. Представление контура для вычисления  $J$ -интеграла в виде суммы замкнутых контуров.

Рис. 8. Компоненты векторов узловых реакций и перемещений в окрестности вершины трещины.

Учитывая, что в соответствии с условиями равновесия узла в вершине трещины  $\{R\}_V = -\{R\}_{V'}$ , на основе (10) и (11) получаем

$$\begin{aligned} J_{CABDD'B'AC'} &= -\frac{\{R\}_V \{u\}_S}{2\Delta l} - \frac{\{R\}_{V'} \{u\}_{S'}}{2\Delta l} = \frac{\{R\}_{V'}}{2\Delta l} (\{u\}_S - \{u\}_{S'}) = \\ &= \frac{1}{2\Delta l} \left( \{R_{V'_1} R_{V'_2}\} \begin{Bmatrix} u_{S_1} - u_{S'_1} \\ u_{S_2} - u_{S'_2} \end{Bmatrix} \right). \end{aligned}$$

Таким образом, выражение  $J$ -интеграла имеет два слагаемых: произведения узловых реакций на перемещения по направлению  $x^1$  и  $x^2$ , которые соответствуют  $J_I$  и  $J_{II}$ :

$$J = J_I + J_{II} = \frac{1}{2\Delta l} (R_{V'_1} (u_{S_1} - u_{S'_1}) + R_{V'_2} (u_{S_2} - u_{S'_2})). \quad (12)$$

С целью обоснования достоверности полученного выражения для вычисления  $J_I$  и  $J_{II}$  рассмотрим тестовый пример о деформировании бесконечной пластины с трещиной в условиях нормального отрыва и поперечного сдвига. Исходные данные: внешняя нагрузка  $q = 0,1$  МН/м<sup>2</sup>; модуль упругости  $E = 0,1$  МПа; коэффициент Пуассона  $\nu = 0,3$ .

При решении задачи использовали следующие варианты схем: в условиях нормального отрыва – 1/4 часть исследуемого фрагмента пластины под воздействием нормальной нагрузки  $q = 0,1$  МН/м<sup>2</sup> (рис. 7,б [1]); в условиях поперечного сдвига – 1/4 часть исследуемого фрагмента пластины под воздействием касательной нагрузки  $q = 0,1$  МН/м<sup>2</sup> (рис. 9,а) для отдельного рассмотрения случая нормального отрыва и поперечного сдвига; вся пластина при загрузке нагрузками  $q_n = 0,1$  МН/м<sup>2</sup> и  $q_s = 0,1$  МН/м<sup>2</sup> (рис. 9,б). Для 1/4 части пластины трещина задана с использованием граничных условий, в случае целой пластины – с помощью разных номеров узлов на противоположных берегах трещины.

Значения  $J$ -интеграла  $J_I$  и  $J_{II}$ , полученные для 1/4 части пластины с использованием формулы (12), при отдельном рассмотрении нагрузок, соответствующих нормальному отрыву и поперечному сдвигу, совпадают с приведенными в работе [4] эталонными значениями: для трещины нормального отрыва  $J_I = 2,859 \cdot 10^{-2}$  Н/м, для трещины поперечного сдвига

$$J_{II} = \frac{K_{II}^2}{E} (1 - \nu^2) = 2,859 \cdot 10^{-2} \text{ Н/м,}$$

где  $K_{II} = \tau \sqrt{\pi l}$ .

Величины  $J$ -интеграла, определенные для 1/4 части пластины по формуле контурного интеграла (5), отличаются от вычисленных с помощью формулы (12) на величину порядка  $10^{-17}$ . Следовательно,  $J$ -интеграл по замкну-

тому контуру равняется нулю, что является одним из признаков выполнения фундаментального свойства его инвариантности.

Значения  $J_I$  и  $J_{II}$ , полученные по формуле (12) для расчетной схемы целой пластины как при отдельной, так и совместной реализации каждого из типов разрушения, полностью совпадают с полученными для 1/4 части пластины. Таким образом, формула (12) позволяет получить достоверные величины  $J_I$  и  $J_{II}$  при смешанном разрушении без использования дополнительной обработки результатов конечноэлементного решения задачи\*.

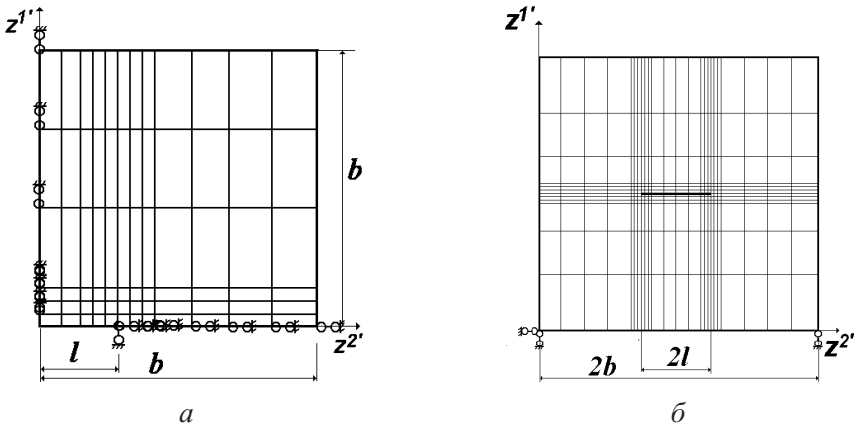


Рис. 9. Поперечные сечения дискретных моделей для вычисления  $J$ -интеграла в условиях продольного сдвига (а) и смешанного разрушения (б).

При исследовании достоверности предложенного подхода для смешанного разрушения при несимметричных относительно трещины расчетных схемах рассмотрен тестовый пример о растяжении бесконечной пластины с наклонной трещиной, расположенной под углом  $\beta$  к линии действия нагрузки (рис. 10).

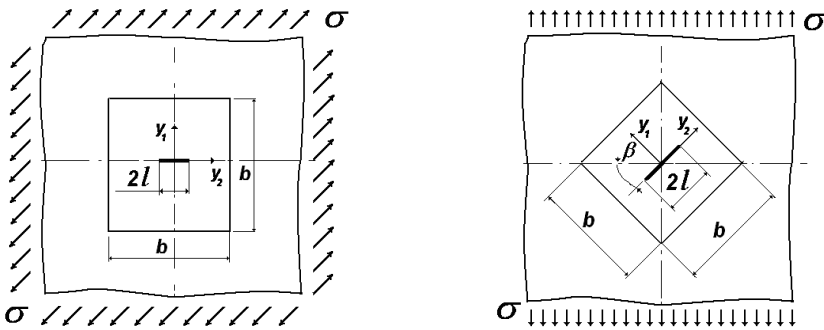


Рис. 10. Расчетные схемы для определения напряженно-деформированного состояния пластины с наклонной трещиной.

При  $\beta = 45^\circ$  приложенная различными способами нагрузка создает одинаковое напряженно-деформированное состояние в окрестности вершины трещины, которое соответствует смешанному разрушению. При расчете рас-

\* Результаты получены при участии Д. В. Богдана.

сматривалась часть пластины размером  $b \times b$ . Фрагменты соответствующих дискретных моделей в окрестности вершины трещины показаны на рис. 11.

Полученные по обеим расчетным схемам значения  $J_I$  и  $J_{II}$  также совпадают с эталонными. При отсутствии симметрии напряженного состояния определение  $J$ -интеграла в пластине с наклонной трещиной также не потребовало никаких дополнительных вычислительных процедур.

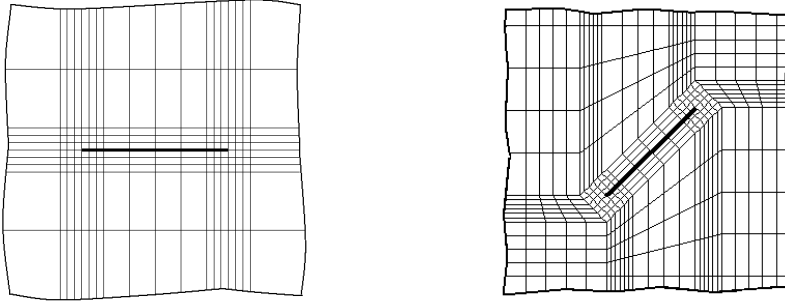


Рис. 11. Фрагменты конечноэлементных моделей пластины с наклонной трещиной.

Достоверность результатов, полученных на основе разработанного подхода к определению  $J$ -интеграла, для случая упругопластического деформирования проверялась на примере задачи об изгибе призматического тела с боковой трещиной (рис. 5). Как и в случае упругого деформирования, полученные распределения  $J$ -интеграла (на рис. 12 линия) не зависят от контура интегрирования и совпадают с эталонным решением (точки), которое получено путем последовательного сгущения конечноэлементной сетки до достижения погрешности вычисления  $J$ -интеграла между двумя решениями в пределах 2% [1].

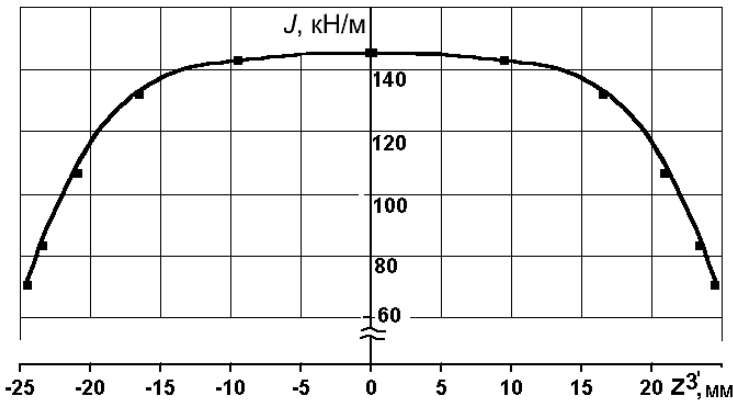


Рис. 12. Распределение  $J$ -интеграла при упругопластическом деформировании призматического тела с боковой трещиной.

На основе реализованного метода вычисления  $J$ -интеграла с использованием величин узловых реакций и перемещений была решена задача об упругопластическом деформировании компактного образца в пространственной постановке [7]. Дискретная модель ПМКЭ, построенная с использованием неоднородных призматических КЭ, показана на рис. 13.

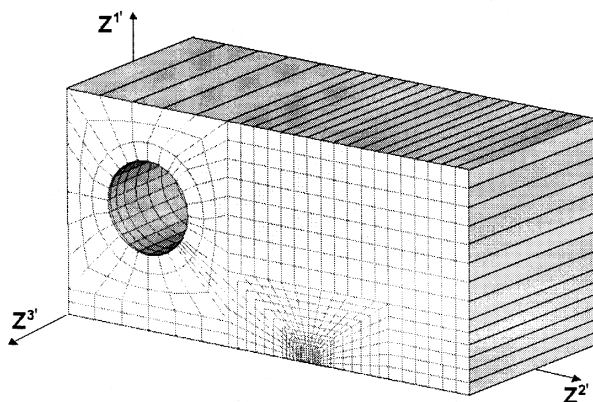


Рис. 13. Дискретная модель ПМКЭ для решения задачи об упругопластическом деформировании компактного образца.

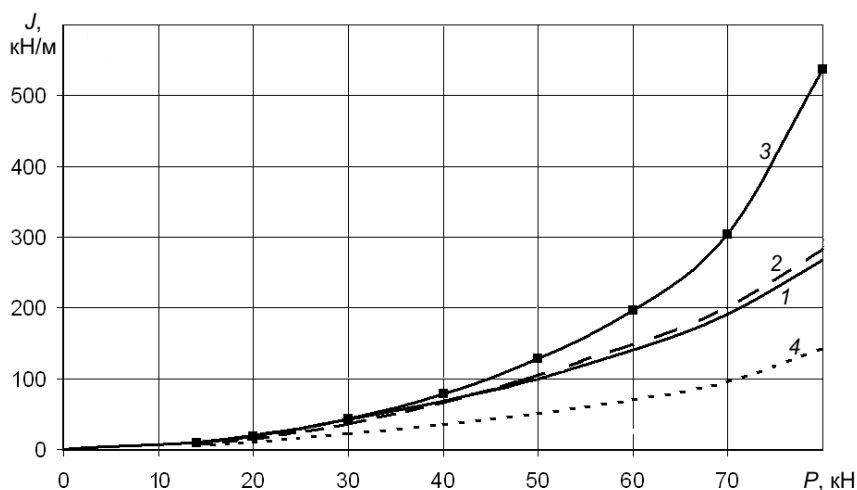


Рис. 14. Зависимость величин  $J$ -интеграла от нагрузки: 1 – данные Е. М. Морозова [7]; 2 – двухмерная постановка; 3 –  $z^{3'} = 0$ ; 4 –  $z^{3'} = 25$  мм.

Размерность конечноэлементной модели определяется на основании исследования сходимости величин параметров напряженно-деформированного состояния. Так, сходимость решения задачи об упругом деформировании с помощью ПМКЭ достигается при использовании 650 узлов в поперечном сечении и 12 гармоник разложения перемещений вдоль оси  $z^{3'}$ . Результаты решения задачи в пространственной постановке показывают, что напряженно-деформированное состояние вдоль оси  $z^{3'}$  имеет существенно пространственный характер. Распределения напряжений вдоль оси  $z^{3'}$ , полученные на основе ПМКЭ, совпадают с таковыми, вычисленными с использованием программного комплекса [3] и комплекса NASTRAN. Распределение  $J$ -интеграла по толщине образца также является неоднородным. Анализ сходимости величин  $J$ -интеграла, полученных на основе метода реакций, свидетельствует, что они достигаются при использовании 12 гармоник в разложении перемещений [8].

Решение задачи при упругопластическом деформировании показывает, что с повышением уровня пластических деформаций разница между значениями  $J$ -интеграла, вычисленными на боковых поверхностях и в середине образца, увеличивается. Также возрастает разница в значениях  $J$ -интеграла, полученных в двумерной и пространственной постановке (рис. 14).

Таким образом, разработана и реализована методика вычисления  $J$ -интеграла в дискретных моделях МКЭ, которая обеспечивает его инвариантность. Это позволяет использовать более простую формулу для его вычисления, в которой понятие контура отсутствует. С помощью данной методики можно достичь сходимости величин  $J$ -интеграла в упругих задачах на более редких сетках, чем это требуется при использовании других методик. Применение разработанной методики к задаче об упругопластическом деформировании компактного образца показывает, что определение параметров нелинейной механики разрушения в массивных телах с трещинами требует решения задач в трехмерной постановке.

## Резюме

Реалізовано нову методику обчислення  $J$ -інтеграла для дискретних моделей методу скінчених елементів, що базується на використанні величин вузлових реакцій і переміщень. Наведено теоретичні обґрунтування і практичні результати, що підтверджують інваріантність отримуваних із використанням цієї методики значень  $J$ -інтеграла для випадку тріщин нормального відриву і змішаного руйнування. Розв'язано задачі про пружно-пластичне деформування компактного зразка в просторовій постановці.

1. *Баженов В. А., Гуляр А. И., Сахаров А. С. и др.* Решение линейных и нелинейных пространственных задач механики разрушения на основе полуаналитического метода конечных элементов. Сообщ. 1. Теоретические основы и исследование эффективности конечноэлементной методики решения пространственных задач механики разрушения // Пробл. прочности. – 2010. – № 1. – С. 27 – 39.
2. *Giner E., Fuenmayor F., Baeza L., and Tarancon J.* Error estimation for the finite element evaluation of  $G_I$  and  $G_{II}$  in mixed-mode linear elastic fracture mechanics // Finite Elements in Analysis and Design. – 2005. – 41. – P. 1079 – 1104.
3. *Сахаров О. С., Щербіна Ю. В., Гондляр О. В., Сівецький В. І.* Інтегрована система моделювання технологічних процесів і розрахунку обладнання хімічної промисловості. – Київ: Поліграфконсалтинг, 2006. – 156 с.
4. *Шимкович Д. Г.* Расчет конструкций в MSC/NASTRAN for Windows. – М.: ДМК, 2001. – 448 с.
5. *Giner E., Fuenmayor F. J., and Besa A. J.* An implementation of the stiffness derivative method as a discrete analytical sensitivity analysis and its application to mixed mode in LFM // Eng. Fract. Mech. – 2002. – 68 (18). – P. 2051 – 2071.

6. *Rice J. R.* A path independent integral and approximate analysis of strain concentration by notches and crack // *J. Appl. Mech.* – 1968. – No. 35. – P. 379 – 386.
7. *Морозов Е. М., Никишков Г. П.* Метод конечных элементов в механике разрушения. – М.: Наука, 1980. – 256 с.
8. *Баженов В. А., Гуляр О. И., Пискунов С. О., Сахаров О. С.* Метод реакцій для обчислення  $J$ -інтеграла в просторових нелінійних задачах механіки руйнування // *Опір матеріалів і теорія споруд.* – 2006. – № 79. – С. 3 – 17.

Поступила 18. 06. 2009